

На правах рукописи



Коваль Карина Александровна

**Операторный подход к краевым, спектральным и
начально-краевым задачам сопряжения**

Специальность 01.01.02 – Дифференциальные уравнения,
динамические системы и оптимальное управление

АВТОРЕФЕРАТ

диссертации на соискание ученой степени
кандидата физико–математических наук

Воронеж – 2018

Работа выполнена на кафедре математического анализа ФГАОУ ВО
Крымского федерального университета им. В.И. Вернадского

Научный руководитель:

доктор физико–математических наук, профессор
Копачевский Николай Дмитриевич.

Официальные оппоненты:

Власов Виктор Валентинович

доктор физико-математических наук, профессор,
ФГБОУ ВО Московский государственный университет
им. М.В. Ломоносова, кафедра математического анализа, профессор;

Муравник Андрей Борисович

доктор физико-математических наук, АО Концерн "Созвездие"
(г. Воронеж), руководитель проекта.

Ведущая организация:

**ФГАОУ ВПО Южный федеральный университет,
г. Ростов-на-Дону**

Защита состоится 22 мая 2018г. в 15.10 на заседании диссертационного совета
Д 212.038.22 в ФГБОУ ВО Воронежский государственный университет по
адресу: 394018, г. Воронеж, Университетская пл., 1, ауд. 335.

С диссертацией можно ознакомиться в библиотеке Воронежского государ-
ственного университета, а также на сайте

http://www.science.vsu.ru/dissertations/5679/Диссертация_Коваль_К.А..pdf

Автореферат разослан «____» марта 2018 г.

Ученый секретарь
диссертационного совета

Гликлик Юрий Евгеньевич



Общая характеристика работы

Актуальность работы. Задачи сопряжения с 60-х годов XX века рассматривались во многих работах. В частности, такими задачами занимались Б.З. Каценеленбаум, Н.Н. Войтович, А.Н. Сивов. Эти задачи не всегда являлись самосопряжёнными, но иногда они были "бесконечно близкими" к самосопряжённым задачам.

Исходным для исследования краевых и спектральных задач в липшицевых областях, а также соответствующих задач сопряжения стали работы М.С. Аграновича и его лекции в ежегодной Крымской Осенней Математической Школе (Ласпи-Батилиман, 1990–2016). С другой стороны, многочисленные приложения, в частности, в задачах гидродинамики (колебания системы жидкостей в частично заполненном сосуде, колебания жидкого топлива в баке космической ракеты), которыми много лет занимался научный руководитель автора, Копачевский Н.Д., требовали детального рассмотрения краевых задач в негладких, в частности, в липшицевых областях.

Общие подходы, которые применялись при исследовании этих проблем, побуждали рассматривать их на базе абстрактной формулы Грина (аналог первой формулы Грина для оператора Лапласа) и теории слабых (вариационных) решений краевых задач. Отсюда возник интерес к развитию теории абстрактной формулы Грина.

Один из первых вариантов абстрактной формулы Грина доказал Ж.-П. Обэн. С.Г. Крейн также занимался этими вопросами. Далее, в монографии Р. Шоуволтера существенно использовалась абстрактная формула Грина в форме Ж.-П. Обэна. В последние годы развитию теории абстрактной формулы Грина и её конкретных реализаций в теории упругости, гидродинамике и др. посвящены работы Н.Д. Копачевского.

Цель диссертационной работы. Главная цель данной работы — разработать общую схему решения смешанных краевых задач сопряжения и показать, что она также применима для спектральных и начально-краевых задач, причём для разных конфигураций областей с липшицевыми границами, разбитыми на липшицевы куски.

Методы исследований. В настоящей диссертации используется метод представления решения сложной неоднородной задачи сопряжения в виде суперпозиции простых задач, содержащих неоднородность лишь в одном месте.

При этом оказывается, с помощью соответствующих формул Грина, что решением исходной задачи является сумма решений вспомогательных краевых задач.

При исследовании спектральных проблем сопряжения в работе использованы также методы спектральной теории операторных пучков для свойств решений полученного операторного пучка с двумя параметрами. Один из параметров считается спектральным, другой — фиксированным, и в зависимости от этого получаются выводы о структуре спектра, базисности собственных функций и асимптотике собственных значений.

Для изучения начально–краевых задач, порождающих спектральные, использованы операторные методы математической физики в областях с липшицевыми границами. С их помощью изучаемые задачи приводятся к задачам Коши для дифференциальных уравнений в гильбертовом пространстве, и на этой основе доказываются теоремы об их сильной разрешимости.

Научная новизна. Все результаты диссертации являются новыми, получены лично автором с помощью научного руководителя.

Теоретическая и практическая значимость. Результаты диссертации носят теоретический характер и могут быть использованы в различных вопросах математической физики, в частности, в гидродинамике.

Результаты и положения, выносимые на защиту.

1. Разработана и обоснована общая схема исследования операторными методами смешанных краевых задач сопряжения. Эта схема применяется к различным конфигурациям пристыкованных областей.

2. Аналогичный подход применён к спектральным задачам сопряжения для одной, двух и трёх примыкающих областей. Итогом исследования является переход к операторному пучку, который далее изучается методами спектральной теории операторных пучков.

3. Общая схема применена также к начально–краевым задачам, которые порождают спектральные. Рассмотрены четыре типа различных задач. Для каждого типа осуществлён переход к задаче Коши для дифференциального уравнения в гильбертовом пространстве, а затем доказываются существование её сильного (по времени) решения.

Апробация работы. Результаты диссертации трижды докладывались автором на международной конференции «Крымская Осенняя Математиче-

ская Школа-симпозиум по спектральным и эволюционным задачам», Батиман, 2015–2017 гг. (см. [9], [14], [16]), на международной конференции "Современные методы и проблемы теории операторов и гармонического анализа и их приложения-VI" в Ростове-на-Дону, 2016 г. (см. [12]), на XXIV международной конференции "Математика. Экономика. Образование." Абрау Дюрсо, 2016 г. (см. [13]), на научных конференциях "Дни науки КФУ" в КФУ им. В.И. Вернадского, Симферополь, 2014–2017 гг. (см. [17]), на семинаре кафедры математического анализа КФУ им. В.И. Вернадского.

Публикации. Основные результаты диссертации в работах [1] – [17]. Работы [4], [6], [7] опубликованы в журналах из перечня рецензируемых научных журналов и изданий, рекомендованных ВАК Минобрнауки РФ. Из совместных работ [1] – [5] и [9] – [15] в диссертацию вошли результаты, полученные диссертанткой лично.

Структура и объем диссертации. Диссертация состоит из введения, 3 глав и заключения. Общий объем диссертации составляет 150 страниц. Список литературы содержит 68 наименований.

Содержание работы

Во Введении обоснована актуальность диссертационной работы, сформулирована цель и аргументирована научная новизна исследований.

В первой главе диссертации приводятся основные формулы Грина, используемые в данной работе. В области $\Omega \subset \mathbb{R}^m$ с липшицевой границей Γ , разбитой липшицевы куски Γ_k , $k = \overline{1, l}$ для тройки пространств $L_2(\Omega)$, $\hat{H}^1(\Omega) \subset H^1(\Omega)$, $L_2(\Gamma)$, $\Gamma = \partial\Omega$, и оператора следа $\gamma : H^1(\Omega) \rightarrow H^{1/2}(\Gamma)$, $\gamma\eta := \eta|_{\Gamma}$, справедлива первая формула Грина для смешанных краевых задач:

$$\langle \eta, u - \Delta u \rangle_{L_2(\Omega)} = (\eta, u)_{H^1(\Omega)} - \sum_{k=1}^l \langle \gamma_k \eta, \partial_k u \rangle_{L_2(\Gamma_k)}, \quad \forall \eta, u \in \hat{H}^1(\Omega), \quad (1)$$

$$u - \Delta u \in (H^1(\Omega))^*, \quad \gamma_k \eta := \eta|_{\Gamma_k} \in \tilde{H}^{1/2}(\Gamma_k),$$

$$\partial_k u = \frac{\partial u}{\partial n} \Big|_{\Gamma_k} \in H^{-1/2}(\Gamma_k), \quad k = \overline{1, l}. \quad (2)$$

Здесь символом $\langle \varphi, \psi \rangle_{H_0}$ обозначено значение функционала $\psi \in H_-$ на элементе $\varphi \in H_+$ для оснащения $H_+ \hookrightarrow H_0 \hookrightarrow H_-$. В формуле (1) следы функций $\gamma_k \eta \in \tilde{H}^{1/2}(\Gamma_k)$ продолжимы нулем с липшицевого куска границы Γ_k на всю $\Gamma = \partial\Omega$ в классе $H^{1/2}(\Gamma)$. Пространство, которому принадлежат такие функции, обозначено символом $\hat{H}^1(\Omega) \subset H^1(\Omega)$ (см. работу Н.Д. Копачевского "Об абстрактной формуле Грина для тройки гильбертовых пространств и полуторалинейных форм").

Во втором варианте формулы Грина (см. ниже) производные по внешней нормали продолжимы нулем в классе $H^{-1/2}(\Gamma) : \partial_k u \in \tilde{H}^{-1/2}(\Gamma_k)$. Пространства таких функций обозначены $\check{H}^1(\Omega) \subset H^1(\Omega)$. Для этих функций справедлива следующая обобщенная формула Грина для смешанных краевых задач:

$$(\eta, u)_{H^1(\Omega)} = \langle \eta, u - \Delta u \rangle_{L_2(\Omega)} + \sum_{k=1}^l \langle \gamma_k \eta, \partial_k u \rangle_{L_2(\Gamma_k)}, \quad \forall \eta, u \in \check{H}^1(\Omega), \quad (3)$$

$$u - \Delta u \in (H^1(\Omega))^*, \quad \gamma_k \eta := \eta|_{\Gamma_k} \in H^{1/2}(\Gamma_k), \quad (4)$$

$$u = u_0 + u_h, \quad \gamma u_0 = 0, \quad \partial_k u_h = (\partial u_h / \partial n)_{\Gamma_k} \in \tilde{H}^{-1/2}(\Gamma_k), \quad k = \overline{1, l};$$

$$u_0 \in H_0^1(\Omega) := \{u \in H^1(\Omega) : \gamma u = 0 \text{ (на } \partial\Omega)\},$$

$$u_h \in H_h^1(\Omega) := \{u \in H^1(\Omega) : u - \Delta u = 0\}.$$

С использованием этих формул Грина в работе разработана общая схема исследования смешанных краевых задач сопряжения (Глава 1). Она также применима для спектральных, начально-краевых задач и для разных конфигураций областей (Главы 2 и 3). Схема заключается в том, что решение неоднородной краевой задачи сопряжения разыскивается в виде суммы решений вспомогательных задач, содержащих неоднородность лишь в одном месте — либо в уравнении, либо в одном из краевых условий.

Сначала эта схема проверяется и подробно описывается (см. п. 1.2.3) на примере задачи сопряжения для конфигурации из трёх областей, которая названа "дважды разрезанный банан" (см. рис. 1 на с. 11, первый вариант). Необходимо найти такие функции $u_j(x) \in H^1(\Omega_j)$, $j = \overline{1, 3}$, что для них выполнены уравнения

$$u_j - \Delta u_j = f_j \text{ (в } \Omega_j), \quad j = \overline{1, 3}, \quad (5)$$

внешние граничные условия Дирихле

$$\gamma_{jj} u_j = \varphi_j \text{ (на } \Gamma_{jj}), \quad j = \overline{1, 3}, \quad (6)$$

и условия сопряжения на стыках:

$$\gamma_{21}u_1 - \gamma_{12}u_2 = \varphi_{21}, \quad \partial_{21}u_1 + \partial_{12}u_2 = \psi_{21} \quad (\text{на } \Gamma_{21} = \Gamma_{12}), \quad (7)$$

$$\gamma_{32}u_2 - \gamma_{23}u_3 = \varphi_{32}, \quad \partial_{32}u_2 + \partial_{23}u_3 = \psi_{32} \quad (\text{на } \Gamma_{32} = \Gamma_{23}), \quad (8)$$

где f_j — заданные функции в Ω_j , $j = \overline{1, 3}$, φ_j — заданные функции на внешних границах Γ_{jj} , $j = \overline{1, 3}$, функции φ_{21} и φ_{32} задают разрывы следов, а ψ_{21} и ψ_{32} — разрывы производных по внешним нормальям на границах стыка областей.

Эта общая схема состоит из четырех этапов. Первый этап — вспомогательная задача Зарембы, у которой уравнения и условия Неймана на стыке однородные, а условия Дирихле на внешних границах неоднородные:

$$u_{11} - \Delta u_{11} = 0 \quad (\text{в } \Omega_1), \quad \gamma_{11}u_{11} = \varphi_1 \quad (\text{на } \Gamma_{11}), \quad \partial_{21}u_{11} = 0 \quad (\text{на } \Gamma_{12} = \Gamma_{21}); \quad (9)$$

$$u_{12} - \Delta u_{12} = 0 \quad (\text{в } \Omega_2), \quad \gamma_{22}u_{12} = \varphi_2 \quad (\text{на } \Gamma_{22}),$$

$$\partial_{12}u_{12} = 0 \quad (\text{на } \Gamma_{12} = \Gamma_{21}), \quad \partial_{32}u_{12} = 0 \quad (\text{на } \Gamma_{32} = \Gamma_{23}); \quad (10)$$

$$u_{13} - \Delta u_{13} = 0 \quad (\text{в } \Omega_3), \quad \gamma_{33}u_{13} = \varphi_3 \quad (\text{на } \Gamma_{33}), \quad \partial_{23}u_{13} = 0 \quad (\text{на } \Gamma_{32} = \Gamma_{23}). \quad (11)$$

С помощью соответствующей формулы Грина (см. (3), (4)) дано определение слабого решения этой проблемы и на этой основе получен следующий результат.

Теорема 1. *Каждая из задач Зарембы (9)–(11) имеет единственное слабое решение $u_{1k} \in H_{0, \Gamma_{kk}}^1(\Omega_k) \cap H_h^1(\Omega_k)$ тогда и только тогда, когда выполнено условие*

$$\varphi_k \in H^{1/2}(\Gamma_{kk}), \quad k = \overline{1, 3}. \quad (12)$$

□

Вторая вспомогательная задача — это задача Стеклова, где неоднородности остаются лишь в разрыве следов на границах стыка областей и задаются с учетом решения предыдущей вспомогательной задачи Зарембы:

$$u_{2k} - \Delta u_{2k} = 0 \quad (\text{в } \Omega_k), \quad \gamma_{kk}u_{2k} = 0 \quad (\text{на } \Gamma_{kk}),$$

$$\gamma_{21}u_{21} - \gamma_{12}u_{22} = \tilde{\varphi}_{21} := \varphi_{21} - \gamma_{21}u_{11} + \gamma_{12}u_{12},$$

$$\partial_{21}u_{21} = -\partial_{12}u_{22} (=:\chi_{21}) \quad (\text{на } \Gamma_{21} = \Gamma_{12}), \quad (13)$$

$$\gamma_{32}u_{22} - \gamma_{23}u_{23} = \tilde{\varphi}_{32} := \varphi_{32} - \gamma_{32}u_{12} + \gamma_{23}u_{13},$$

$$\partial_{32}u_{22} = -\partial_{23}u_{23} (=:\chi_{32}) \quad (\text{на } \Gamma_{32} = \Gamma_{23}).$$

Здесь установлен следующий результат.

Теорема 2. Пусть в задаче (13) выполнены условия

$$\varphi_{21} \in H^{1/2}(\Gamma_{21}), \quad \varphi_{32} \in H^{1/2}(\Gamma_{32}), \quad (14)$$

а также условия согласования

$$\tilde{\varphi}_{21} \in \tilde{H}^{1/2}(\Gamma_{21}), \quad \tilde{\varphi}_{32} \in \tilde{H}^{1/2}(\Gamma_{32}).$$

Тогда задача Стеклова (13) имеет единственное слабое решение

$$u_{(2)} = (u_{21}; u_{22}; u_{23})^\tau \in H_{0,\Gamma_{11},h}^1(\Omega_1)(\dot{+})H_{0,\Gamma_{22},h}^1(\Omega_2)(\dot{+})H_{0,\Gamma_{33},h}^1(\Omega_3).$$

□

Далее на третьем этапе рассматривается первая вспомогательная задача С. Крейна; в ней неоднородны лишь уравнения, а все граничные условия являются однородными:

$$\begin{aligned} u_{3k} - \Delta u_{3k} &= f_k \text{ (в } \Omega_k), \quad \gamma_{kk} u_{3k} = 0 \text{ (на } \Gamma_{kk}), \quad k = \overline{1, 3}, \\ \gamma_{21} u_{31} - \gamma_{12} u_{32} &= 0, \quad \partial_{21} u_{31} + \partial_{12} u_{32} = 0 \text{ (на } \Gamma_{21}), \\ \gamma_{32} u_{32} - \gamma_{23} u_{33} &= 0, \quad \partial_{32} u_{32} + \partial_{23} u_{33} = 0 \text{ (на } \Gamma_{32}). \end{aligned} \quad (15)$$

Итогом рассмотрения этой задачи является следующий вывод.

Теорема 3. Первая вспомогательная задача С. Крейна (15) имеет единственное слабое решение $u_{(3)} \in H_{0,\Gamma}^1(\Omega)$ тогда и только тогда, когда выполнено условие

$$f := (f_1; f_2; f_3)^\tau \in (H_{0,\Gamma}^1(\Omega))^*,$$

$$H_{0,\Gamma}^1(\Omega) := \{(u_1; u_2; u_3) \in H^1(\Omega), \gamma_{kk} u_k = 0 \text{ (на } \Gamma_{kk}), k = \overline{1, 3},$$

$$\gamma_{21} u_1 - \gamma_{12} u_2 = 0 \text{ (на } \Gamma_{21}), \gamma_{32} u_2 - \gamma_{23} u_3 = 0 \text{ (на } \Gamma_{32})\}.$$

Это решение выражается формулой

$$u_{(3)} = A^{-1} f,$$

где A — оператор гильбертовой пары $(H_{0,\Gamma}^1(\Omega); L_2(\Omega))$.

□

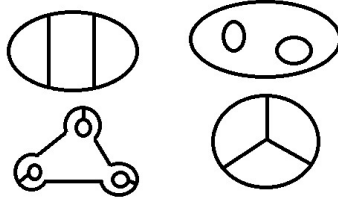


Рис 1

Последний четвёртый этап — вторая вспомогательная задача С. Крейна; здесь неоднородными являются лишь граничные условия типа Неймана:

$$\begin{aligned}
 u_{4k} - \Delta u_{4k} &= 0 \quad (\text{в } \Omega_k), & \gamma_{kk} u_{4k} &= 0 \quad (\text{на } \Gamma_{kk}), \quad k = \overline{1, 3}; \\
 \gamma_{21} u_{41} - \gamma_{12} u_{42} &= 0, & \partial_{21} u_{41} + \partial_{12} u_{42} &= \psi_{21} \quad (\text{на } \Gamma_{21} = \Gamma_{12}), \\
 \gamma_{32} u_{42} - \gamma_{23} u_{43} &= 0, & \partial_{32} u_{42} + \partial_{23} u_{43} &= \psi_{32} \quad (\text{на } \Gamma_{32} = \Gamma_{23}).
 \end{aligned} \tag{16}$$

С помощью соответствующей формулы Грина (см. (1), (2)) доказывается следующее утверждение.

Теорема 4. *Вторая вспомогательная задача С. Крейна (16) имеет единственное слабое решение $u_{(4)} \in H_{0,\Gamma}^1(\Omega)$ тогда и только тогда, когда выполнены условия*

$$\psi_{21} \in H^{-1/2}(\Gamma_{21}), \quad \psi_{32} \in H^{-1/2}(\Gamma_{32}). \tag{17}$$

□

Итогом рассмотрения исходной смешанной краевой задачи сопряжения (6)–(8) является следующее утверждение.

Теорема 5. *Пусть выполнены условия, обеспечивающие существование обобщённых формул Грина (1)–(4). Тогда задача сопряжения (5)–(8) имеет единственное слабое решение в том и только в том случае, когда выполнены условия теорем 1–4. При этом её решение — сумма решений четырёх вспомогательных задач.*

□

Далее в параграфах 1.2.4, 1.2.5, 1.2.6 эта схема применяется к различным конфигурациям пристыкованных областей Ω_k в случае, когда области Ω_k разбиты на липшицевы куски с липшицевыми границами этих кусков (см. рис.1). Для каждой из них слабое решение ищется в виде суммы решений вспомогательных задач.

Отметим ещё, что общий подход, применённый здесь на основе обобщённых формул Грина для дифференциального выражения $u - \Delta u$ и пространства $H^1(\Omega)$, по этой же схеме может быть осуществлён как для абстрактной формулы Грина, так и для соответствующих обобщённых формул Грина в задачах теории упругости, гидродинамики и в других проблемах.

Результаты первой главы опубликованы в работах [3], [4], [5].

Во второй главе на основе вышеизложенного подхода для краевых задач рассматриваются спектральные задачи сопряжения. Сначала изучается следующая спектральная проблема для одной области (параграф 2.1.1).

В области $\Omega \subset \mathbb{R}^m$ с липшицевой границей $\partial\Omega =: \Gamma$, разбитой на четыре липшицевых куска Γ_k с липшицевыми границами $\partial\Gamma_k$, $k = \overline{1,4}$, рассмотрим спектральную задачу:

$$u - \Delta u = \lambda u =: f \text{ (в } \Omega), \quad \gamma_1 u := u|_{\Gamma_1} = 0 \text{ (на } \Gamma_1), \quad (18)$$

$$\partial_2 u = \mu \gamma_2 u =: \psi_2 \text{ (на } \Gamma_2), \quad \partial_3 u = \lambda \gamma_3 u =: \psi_3 \text{ (на } \Gamma_3), \quad (19)$$

$$\partial_4 u = \lambda^{-1} \gamma_4 u =: \psi_4 \text{ (на } \Gamma_4), \quad \partial_k u := (\partial u / \partial n)_{\Gamma_k}. \quad (20)$$

Здесь на Γ_1 задано однородное условие Дирихле, на Γ_2 — условие М.С.Аграновича, или условие, возникающее в задачах дифракции, на Γ_3 — условие типа Стефана (или Стеклова), на Γ_4 — условие типа С.Крейна, появившееся в задачах о нормальных движениях тяжёлой вязкой жидкости в частично заполненном сосуде. В этой проблеме имеется два параметра λ и μ , один из которых можно считать спектральным, а второй — фиксированным. В частности, в задачах дифракции спектральным является параметр $\mu \in \mathbb{C}$. Другой вариант, когда спектральным является $\lambda \in \mathbb{C}$, рассматривается в работах В.И.Горбачук.

В силу однородного условия Дирихле на Γ_1 слабое решение задачи (19)-(20) естественно искать в пространстве

$$H_{0,\Gamma_1}^1(\Omega) := \{u \in H^1(\Omega) : \gamma_1 u = 0 \text{ (на } \Gamma_1)\}.$$

Решение $u \in H_{0,\Gamma_1}^1(\Omega)$ будем искать в виде суммы решений четырех задач, где u_k — слабые решения вспомогательных задач.

С использованием соответствующих формул для решений каждой из этих вспомогательных задач (см. теоремы 1-4) установлено, что слабое решение u задачи (18)-(20) должно быть решением следующей спектральной проблемы:

$$u = \lambda(A^{-1} + V_3 \gamma_3)u + \mu V_2 \gamma_2 u + \lambda^{-1} V_4 \gamma_4 u, \quad u \in \check{H}_{0,\Gamma_1}^1(\Omega). \quad (21)$$

Это уравнение можно привести к более симметричной форме, воспользовавшись тем, что имеют место свойства

$$A^{1/2}V_k = (\gamma_k A^{-1/2})^* \in \mathcal{L}(\tilde{H}^{-1/2}(\Gamma_k); L_2(\Omega)), \quad k = \overline{2, 4}.$$

Представим элемент $u \in H_{0,\Gamma_1}^1(\Omega) = \mathcal{D}(A^{1/2})$, $\mathcal{R}(A^{1/2}) = L_2(\Omega)$, в виде

$$u = A^{-1/2}v, \quad v \in L_2(\Omega),$$

подставим это выражение в (21) и подействуем на обе части полученного соотношения оператором $A^{1/2}$. Тогда взамен (21) возникает спектральная задача

$$L(\lambda, \mu)v := (I - \mu B_2 - \lambda(A^{-1} + B_3) - \lambda^{-1}B_4)v = 0, \quad v \in L_2(\Omega), \quad (22)$$

$$A > 0, \quad B_k := (A^{1/2}V_k)(\gamma_k A^{-1/2}) = B_k^* \geq 0, \quad B_k \in \mathfrak{S}_\infty(L_2(\Omega)), \quad k = \overline{2, 4}, \quad (23)$$

для операторного пучка $L(\lambda, \mu)$ с параметрами λ и μ .

Аналогично формулируются спектральные задачи для двух и трёх примыкающих областей (см. параграфы 2.1.2, 2.1.3). Как установлено в работе, в итоге возникает такой же операторный пучок, как и в случае одной области.

Операторный пучок $L(\lambda, \mu)$ содержит два параметра: λ и μ . Это позволяет исследовать два класса задач: при фиксированном $\mu \in \mathbb{C}$ возникают задачи со спектральным параметром λ в уравнении, а при фиксированном $\lambda \in \mathbb{C}$ — задачи со спектральным параметром μ в краевом условии на границе сопряжения. В зависимости от этого получаются различные выводы о полноте, базисности корневых элементов и структуре спектра этих задач (параграф 2.2).

1°. В частности, если μ — спектральный параметр, а $\lambda < 0$ — фиксированный, то получаем дискретный спектр с предельной точкой $+\infty$, собственные элементы после проектирования на

$$H_1 = \overline{\mathcal{R}(B_2)} = L_{2,h}(\Omega) := \{\varphi \in L_2(\Omega) : \varphi = A^{1/2}u_2, \quad u_2 \in \check{H}_{0,\Gamma_1,h}^1(\Omega) \subset H^1(\Omega)\},$$

$$H_0 = H \ominus H_1 := \ker B_2 =: L_{2,0}(\Omega)$$

образуют базис Рисса и даже p -базис (см. теорему 2.1 в диссертации).

2°. Если μ — спектральный параметр, а λ положителен и принимает неисключительные значения, т.е. $\lambda \notin \sigma(I - T(\lambda)) \cap \sigma(I_0 - P_0 T(\lambda) P_0)$, $T(\lambda) = \lambda(A^{-1} + B_3) + \lambda^{-1}B_4$, то возникает индефинитная метрика и пространство

Понтрягина. Здесь и далее $P_1 : H \rightarrow H_1$ и $P_0 : H \rightarrow H_0$ — ортопроекторы. В этом случае задача (22), (23) имеет вещественный дискретный спектр, состоящий из конечного числа отрицательных собственных значений, а остальные положительны и имеют предельную точку $\mu = +\infty$. При этом собственные элементы (присоединённых нет) образуют ортонормированный по форме оператора $I_1 - T_1(\lambda)$, $T_1(\lambda) = P_1 T(\lambda) P_1 + P_1 T(\lambda) P_0 (I_0 - P_0 T(\lambda) P_0)^{-1} P_1 T(\lambda) P_1$, базис и базис Рисса в H_1 (теорема 2.2 в диссертации).

3°. Если $\text{Im} \lambda \neq 0$, $\lambda \notin \sigma(I - T(\lambda)) \cap \sigma(I_0 - P_0 T(\lambda) P_0)$, то спектр этой задачи дискретен, состоит из конечнократных собственных значений $\{\mu_k\}_{k=1}^{\infty}$ с предельной точкой $\mu = \infty$. Система собственных и присоединённых элементов, после их проектирования на $H_1 = L_{2,h}(\Omega)$, является полной в H_1 , более того, она образует базис Абеля–Лидского (см. теорему 2.3 в диссертации).

4°. Если параметр λ — спектральный, а $\mu \leq 0$ — фиксированный, то получаем дискретный спектр с предельными точками 0 и $+\infty$. Соответствующая система собственных элементов (присоединённых нет), отвечающая собственным значениям с предельной точкой $\lambda = 0$, после проектирования на подпространство H_1 , образует базис Рисса в H_1 . Вторая ветвь собственных элементов, отвечающая собственным значениям с предельной точкой $\lambda = \infty$, образует базис Рисса во всём H . Более того, эти системы элементов образуют также и p -базис (теорема 2.4 в диссертации).

5°. Если же $\text{Re} \mu \leq 0$, $\text{Im} \mu \neq 0$, , то получаем дискретный спектр с предельными точками 0 и $+\infty$. Система собственных и присоединённых (корневых) элементов, отвечающая собственным значениям с предельной точкой $\lambda = 0$, после проектирования на подпространство H_1 , образует базис Абеля–Лидского в H_1 . А вторая ветвь собственных элементов, отвечающая собственным значениям с предельной точкой $\lambda = \infty$, образует базис Абеля–Лидского во всём H (теорема 2.5 в диссертации).

Результаты второй главы опубликованы в работах [6], [8].

В третьей главе диссертации рассмотрены начально-краевые задачи, порождающие спектральные. В этих задачах производные по времени входят не только в уравнение, но и в краевые условия. Опишем первую из них (параграф 3.1.1).

В области $\Omega \subset \mathbb{R}^m$ с липшицевой границей $\partial\Omega$, разбитой на 3 липшицевых куска Γ_1 , Γ_2 и Γ_3 с липшицевыми контурами $\partial\Gamma_1$, $\partial\Gamma_2$ и $\partial\Gamma_3$, рассмотрим

начально-краевую задачу

$$\begin{aligned} \frac{\partial u}{\partial t} + L_0 u &= f \text{ (в } \Omega), \quad \gamma_1 u = 0 \text{ (на } \Gamma_1), \quad \partial_2 u = \mu \gamma_2 u + \psi_2 \text{ (на } \Gamma_2), \\ \partial_3 u + \frac{\partial}{\partial t}(\gamma_3 u) &= \psi_3 \text{ (на } \Gamma_3), \quad L_0 u = u - \Delta u, \quad u(0, x) = u^0(x), \quad x \in \Omega. \end{aligned} \quad (24)$$

Опираясь на уже использованную ранее схему, а также на введённые ранее операторы вспомогательных краевых задач, можно исследовать задачу (24) операторными методами и доказать теорему о её сильной разрешимости на произвольном конечном промежутке времени. Применение этой схемы даёт уравнение, которому удовлетворяет решение задачи (24):

$$u = A^{-1}\left(f - \frac{\partial u}{\partial t}\right) + V_2(\mu \gamma_2 u + \psi_2) + V_3\left(\psi_3 - \frac{\partial}{\partial t}\gamma_3 u\right), \quad (25)$$

где A — оператор гильбертовой пары $(H_{0,\Gamma_1}^1(\Omega); L_2(\Omega))$, а V_2 и V_3 — операторы вспомогательных задач Неймана (при $\Gamma_4 = \emptyset$). Это уравнение приводится к задаче Коши

$$\frac{dw}{dt} + (I - \mu B_2)(A^{-1} + B_3)^{-1}w = f_1(t), \quad w(0) = (A^{-1} + B_3)A^{1/2}u^0. \quad (26)$$

Отсюда получаем следующий результат.

Теорема 6. Пусть в исходной задаче (24) выполнены условия

$$\begin{aligned} f(t, x) &\in C^\beta([0, T]; (\check{H}_{0,\Gamma_1}^1(\Omega))^*), \quad \psi_2(t, x) \in C^\beta([0, T]; \tilde{H}^{-1/2}(\Gamma_2)), \\ \psi_3(t, x) &\in C^\beta([0, T]; \tilde{H}^{-1/2}(\Gamma_3)), \quad 0 < \beta \leq 1, \quad u^0(x) \in \check{H}_{0,\Gamma_1}^1(\Omega), \end{aligned}$$

а также условие

$$\mu \notin \sigma(I - \mu B_2).$$

Тогда задача (26) имеет единственное сильное решение на отрезке $[0, T]$. При этом исходная начально-краевая задача имеет единственное решение

$$u(t, x) \in C([0, T]; \check{H}_{0,\Gamma_1}^1(\Omega)),$$

причём для этого решения выполнено уравнение в Ω , где все слагаемые являются элементами из $C([0, T]; (\check{H}_{0,\Gamma_1}^1(\Omega))^*)$, граничные условия на Γ_k , $k = 2, 3$, где все слагаемые являются элементами из $C([0, T]; \tilde{H}^{-1/2}(\Gamma_k))$, а также начальное условие.

Далее в диссертации рассмотрены три другие начально–краевые задачи для одной области и аналогичные проблемы для двух и трёх примыкающих областей (см. рис. 1 и параграфы 3.1.2–3.1.4).

Результаты третьей главы опубликованы в работах [6], [7].

В Заключении кратко изложены основные результаты диссертации.

Список литературы

- [1] Бастрюкова В.Е., Радомирская К.А. Абстрактные смешанные краевые и спектральные задачи сопряжения. // Материалы Таврической научной конференции студентов и молодых специалистов по математике и информатике, 22-25 апреля 2014 г., Симферополь. — Симферополь: КНЦ НАНУ.— 2014. — С. 8-13.
- [2] Копачевский Н.Д., Радомирская К.А. Абстрактные смешанные краевые и спектральные задачи сопряжения. // Материалы Таврической научной конференции студентов и молодых специалистов по математике и информатике, 22-25 апреля 2014 г., Симферополь. — Симферополь: КНЦ НАНУ. — 2014. — С. 30-36.
- [3] Копачевский Н.Д., Радомирская К.А. Абстрактные смешанные краевые и спектральные задачи сопряжения. // Ученые записки Таврического национального университета имени В.И. Вернадского. Серия Физико-математические науки. — 2014. — Т. 27 (66), № 1. — С. 58-64.
- [4] Копачевский Н.Д., Радомирская К.А. Абстрактные смешанные краевые и спектральные задачи сопряжения и их приложения. // Современная математика. Фундаментальные направления, РУДН, М.. — 2016. — Т. 61. — С. 67-102.
- [5] Копачевский Н.Д., Радомирская К.А. Смешанные краевые задачи сопряжения. // Таврический вестник информатики и математики (ТВИМ). — 2016. — № 1 (30). — С. 89-108.

- [6] Радомирская К.А. Спектральные и начально-краевые задачи сопряжения. // Современная математика. Фундаментальные направления, РУДН, М. — 2017. — Т. 63. — С. 316-339.
- [7] Радомирская К.А. О некоторых начально-краевых задачах сопряжения.. // Таврический вестник информатики и математики (ТВИМ). — 2017. — № 2 (35). — С. 72-96.
- [8] Радомирская К.А. Спектральные задачи сопряжения. // Динамические системы, КФУ, Симферополь. — 2017. — Т. 7(35), №1. — С. 63-79.
- [9] Копачевский Н.Д., Радомирская К.А. Абстрактные смешанные краевые и спектральные задачи сопряжения. // XXV Крымская Осенняя Математическая Школа-симпозиум по спектральным и эволюционным задачам (КРОМШ-2014). Тезисы докладов. — Симферополь: ТНУ. — 2014. — С.58.
- [10] Копачевский Н.Д., Радомирская К.А. Абстрактные смешанные краевые задачи сопряжения. // Международная научная конференция "Современные методы и проблемы теории операторов и гармонического анализа и их приложения - V"(Ростов-на-Дону). — 2015. — С. 211.
- [11] Копачевский Н.Д., Радомирская К.А. Абстрактные краевые и спектральные задачи сопряжения. // XXVI Крымская осенняя математическая школа-симпозиум по спектральным и эволюционным задачам (Батилиман(Ласпи)). — 2015. — С. 52.
- [12] Копачевский Н.Д., Радомирская К.А. Об абстрактных краевых и спектральных задачах сопряжения. // Международная конференция "Современные методы и проблемы теории операторов и гармонического анализа и их приложения-VI" в городе Ростове-на-Дону. Тезисы докладов. Ростов н/д.: Изд. Центр ДГРТУ. — 2016. — С. 28.
- [13] Копачевский Н.Д., Радомирская К.А. О некоторых абстрактных краевых задачах сопряжения и их приложениях. // XXIV Международная конференция "Математика. Экономика. Образование". Изд-во Фонд науки и образования. Ростов н/д. — 2016. — С. 89.

- [14] Копачевский Н.Д., Радомирская К.А. Спектральные задачи, порождённые абстрактными задачами сопряжения. // XXVII Крымская Осенняя Математическая Школа-симпозиум по спектральным и эволюционным задачам (КРОМШ-2016). Тезисы докладов. — Симферополь: КФУ. — 2016. — С. 45-46.
- [15] Копачевский Н.Д., Радомирская К.А. Спектральные и эволюционные задачи сопряжения. // Международная научная конференция "Современные методы и проблемы теории операторов и гармонического анализа и их приложения - VII"(Ростов-на-Дону). — 2017. — С. 108.
- [16] Радомирская К.А. О спектральных и начально–краевых задачах сопряжения. // XXVIII Крымская Осенняя Математическая Школа-симпозиум по спектральным и эволюционным задачам (КРОМШ-2017). Тезисы докладов. — Симферополь: КФУ. — 2017. — С. 38-39.
- [17] Радомирская К.А. О некоторых спектральных и начально–краевых задачах сопряжения. // III научно–практическая конференция профессорско–преподавательского состава, аспирантов, студентов и молодых ученых "Дни науки КФУ". — Симферополь: КФУ. — 2017. — С. 549-550.

Работы [4], [6], [7] опубликованы в журналах из перечня рецензируемых научных журналов и изданий, рекомендованных ВАК Минобрнауки РФ.